

Surveillance de l'écran thermique

- Plusieurs sources d'excitations

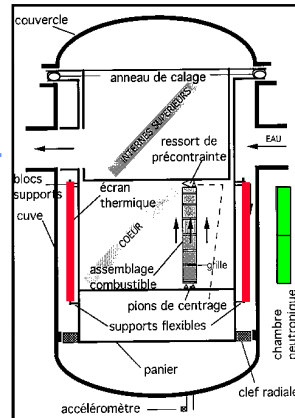
- balancement du panier du coeur,
- déformation de l'écran thermique,
- vibrations des éléments combustibles, ...

- bruit neutronique ➡ vibrations

**S(t) : sources vibratoires
GAUSSIENNES**

- observation :

$$r(t) = A * s(t) + b(t)$$



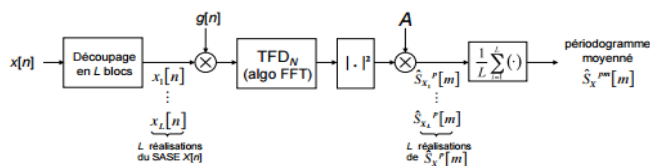
Algorithme du périodogramme moyenné

$x[n]$ = une réalisation sur M échantillons d'un SASE $X[n]$
découpée en L blocs $x_i[n]$ de N échantillons chacun.

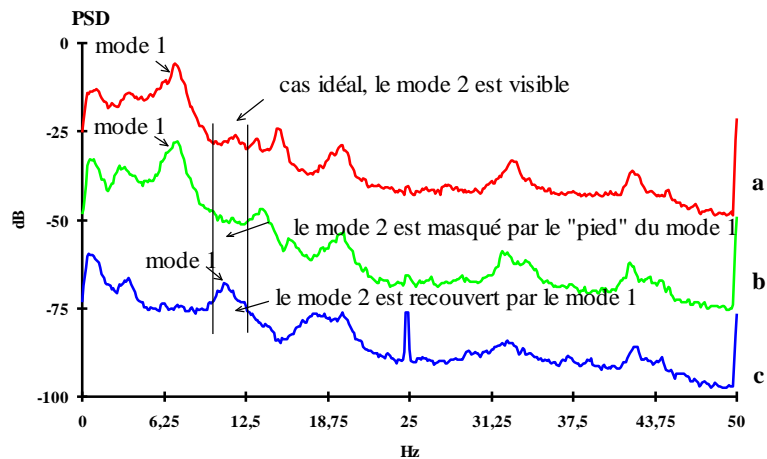
$$\hat{S}_x^{pm}[m] = \frac{A}{L} \sum_{i=1}^L |\tilde{X}_i[m]|^2$$

avec :

- A = facteur de normalisation
- $\tilde{X}_i[m] = \text{TFD}_N [g[n]x_i[n]]$
- $g[n]$ = fenêtre de pondération



Analyse spectrale monocapteur



Descripteur de surveillance : fréquence du mode 2



Restauration du mode 2 de l'écran thermique

- Les limites de l'analyse spectrale classique
- Méthode du spectre-écran ou de restitution du mode 2 de l'écran thermique (fondée sur la cohérence entre 2 capteurs)
- Méthode des matrices interspectrales (séparation de sources - mélange convolutif)
- Méthode SOBI - Second Order Blind Identification - (séparation de sources - mélange instantané)
- Comparaison des méthodes
- Conclusion



Le TdS appliqué à la surveillance des structures internes

Que faire en présence de plusieurs sources d'excitation ?

Les capteurs mesurent la réponse globale de la structure à ces excitations.

– 1 capteur :

Impossibilité d'observer indépendamment chaque phénomène en cas de recouvrement.

– 2 capteurs :

Possibilité de distinguer certains phénomènes.

→ Cohérence

– Plusieurs capteurs (au moins autant que de sources) :

Possibilité de retrouver les différentes sources

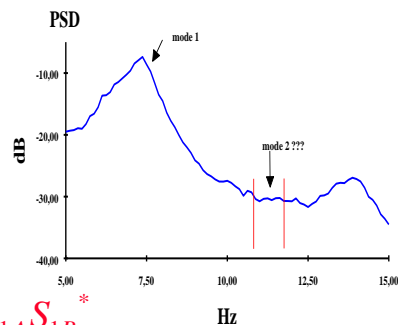
→ Indépendance



Définition du modèle de mélange

- Sur deux capteurs diamétralement opposés : c_A et c_B

$$\begin{cases} c_A(f) = s_{1A}(f) + s_{2A}(f) \\ c_B(f) = s_{1B}(f) + s_{2B}(f) \end{cases}$$



$$coh(S_{1A}, S_{1B})(f) = \frac{S_{1A} S_{1B}^*}{\sqrt{\|S_{1A}\|^2 \cdot \|S_{1B}\|^2}}$$



Propriétés des sources vibratoires

- le mode 1 du panier du coeur
est cohérent :

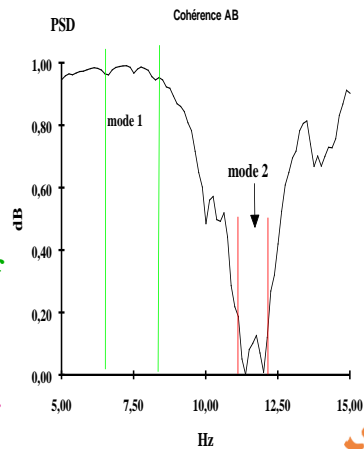
$$\text{coh}(S_{1A}, S_{1B})(f) = 1, \forall f$$

- le mode 2 de l'écran thermique
est incohérent :

$$\text{coh}(S_{2A}, S_{2B})(f) = 0, \forall f$$

- les modes 1 et 2 sont décorrélés :

$$\text{coh}(S_1, S_2)(f) = 0, \forall f$$

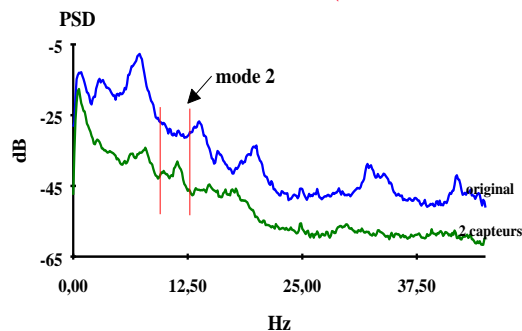


Restauration du mode 2 de l'écran thermique

- Méthode fondée sur la cohérence :

La densité spectrale de puissance du mode 2 de l'écran thermique

s'exprime par $E|S_{2A}(f)| = E|C_A(f)|^2 \cdot (1 - \text{coh}(C_A, C_B)(f)), \forall f$



La séparation de sources : principes généraux

- Vous pouvez retrouver les sources vibratoires si :
 - Les sources sont indépendantes
 \equiv *les sources sont d'origines physiques différentes*
 - On dispose de plusieurs capteurs
nombre de sources \leq nombre de capteurs
 - Chaque capteur délivre un mélange linéaire des sources



Modèle de mélange convolutif

- Chaque capteur observe un mélange des sources filtrées.

$$r(f) = A(f) \cdot s(f) + b(f)$$

r : observations,
 A : matrice de mélange,
 s : sources,
 b : bruit.

- Nous connaissons r , mais A et s sont inconnus.

→ Objectif : extraire s

→ Moyens : mélange est linéaire

→ techniques d'algèbre linéaire



Matrices interspectrales : comment trouver les puissances des sources

- Matrice interspectrale : $\gamma_r(f) = E\{r(f)r(f)^+\}$
– bruit et sources décorrélés

$$\gamma_r(f) = AE\{s(f)s^+(f)\}A^+ + E\{b(f)b^+(f)\}$$

- bruit spatialement blanc

$$\gamma_r(f) = \sum_{i=1}^P P_i s_i s_i^+ + P_B \underline{I}$$

$P_i \gg P_B \rightarrow$ Puissances des sources \approx p valeurs propres les plus grandes



Continuité de phase

Soit $g(f,i)$ le numéro d'un vecteur propre à la fréquence f de la source i .

On cherche $g(f+1,i)$

On utilise la fonction $j : [0,3] \rightarrow [1,p]^3$

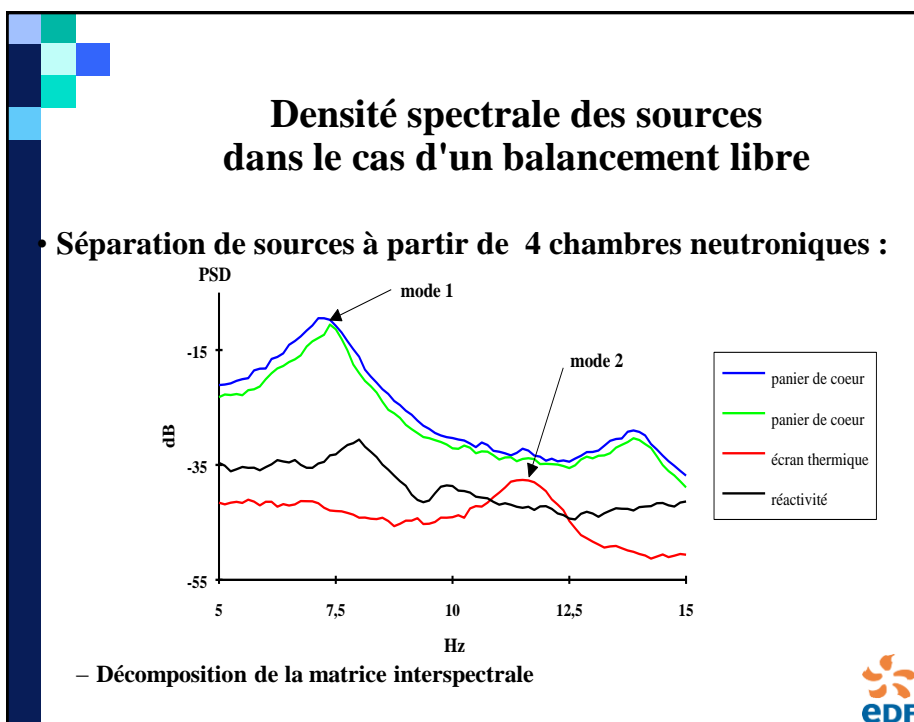
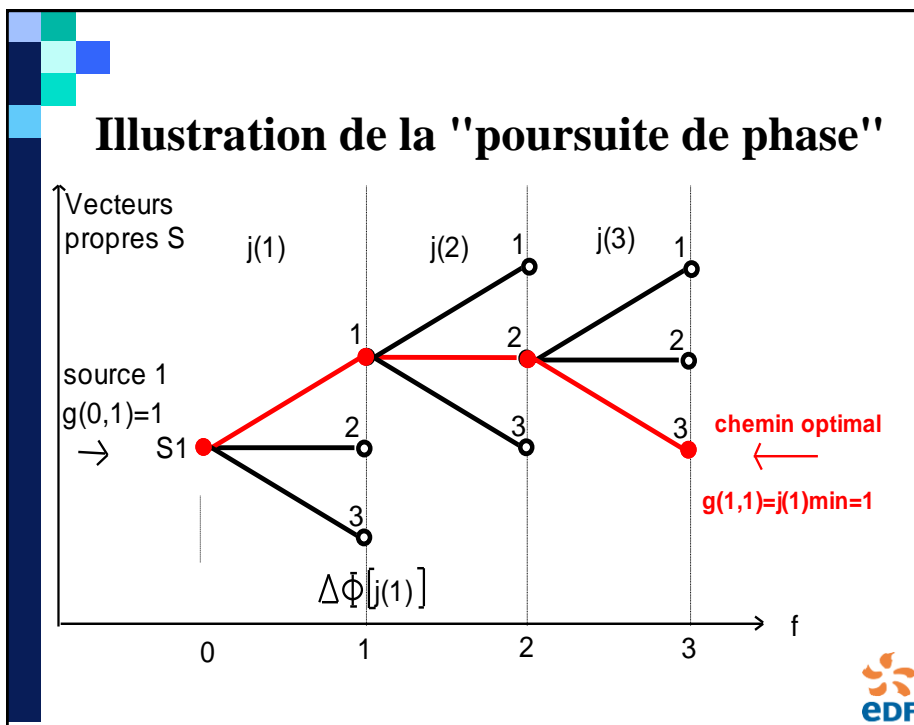
$j(k)$ étant un candidat de $g(f+k,i)$

On choisit une fonction de coût:

$$\Delta\Phi(j(1), j(2), j(3)) = \sum_{l=1}^N \sum_{k=0}^2 \left[\Phi\{S_{l,j(k)}(f+k)\} - \Phi\{S_{l,j(k+1)}(f+k+1)\} \right]^2 \text{ with } j \in \{1, P\}$$

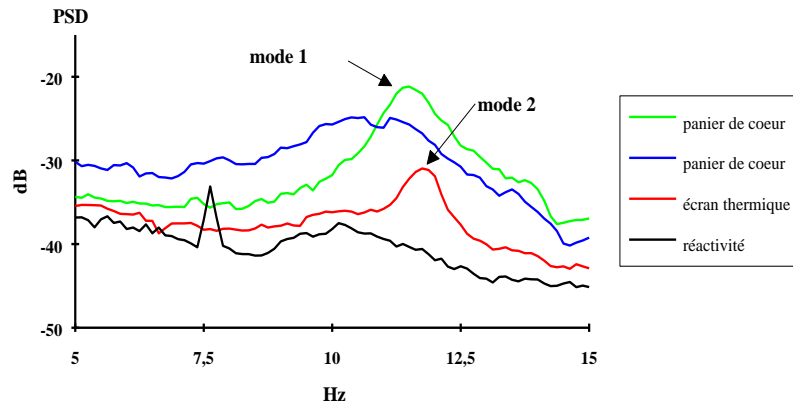
$$\Delta\Phi(j_m(1), j_m(2), j_m(3)) = \underset{j(1), j(2), j(3) \in [1, P]^3}{\text{Min}} \Delta\Phi[j(1), j(2), j(3)]$$





Densité spectrale des sources dans le cas d'un balancement appuyé

- Séparation de sources à partir de 4 chambres neutroniques :

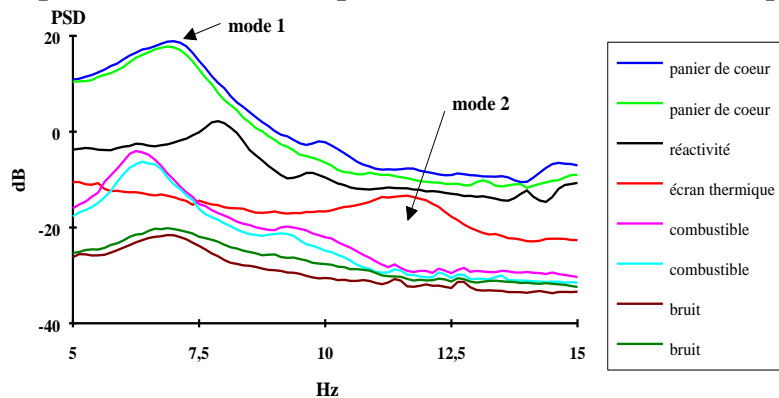


– Décomposition de la matrice interspectrale



Densité spectrale des sources dans le cas d'un balancement libre

- Séparation de sources à partir de 8 chambres neutroniques :



– Décomposition de la matrice interspectrale



La séparation de sources pour séparer les sources vibratoires

- **Problème initial**

On considère une antenne à N capteurs recevant des signaux émis par P sources indépendantes, avec $P \leq N$ pour $1 \leq i \leq N$ $r_i = \sum_{j=1}^P a_{ij} s_j + b_i$

$$r(t) = A.s(t) + b(t)$$

- **Hypothèses**

Les sources s sont indépendantes = origines physiques différentes,
Le bruit est blanc.

- **Solution**

Chercher une matrice séparante D telle que

$$\hat{s}(t) = D.r(t) \approx \Lambda.P.s(t)$$



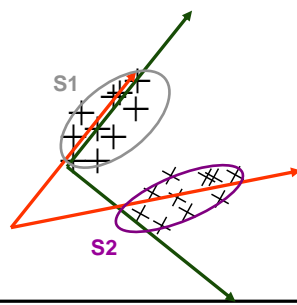
La séparation de sources "L'idée"

- L'étape essentielle : inverser la matrice de mélange sans connaissance a priori sur le mélange ni sur les sources elles-mêmes.
- Propriété : indépendance statistique .
- Les relations statistiques des observations reflètent fidèlement le mélange. En exploitant ces relations, il est possible d'inverser le système et donc de séparer les phénomènes.



l'Analyse en Composantes Principales (ACP) et l'Analyse en Composantes Indépendantes (ACI)

Base des
mesures



«Base » ACI
Indépendance
non orthogonale et
non normée
Calculs complexes



L'algorithme SOBI : $D = U.W$

1- Le blanchiement (W) :

W s'obtient à partir de la partie signal de la matrice de covariance des signaux capteurs.
Lorsque que le nombre de sources est égal au nombre de capteurs

$$W = L_r^{-1/2} \quad L_R = E[r.r^H]$$

2- Calcul de la matrice de rotation U ($\tau > 0$)

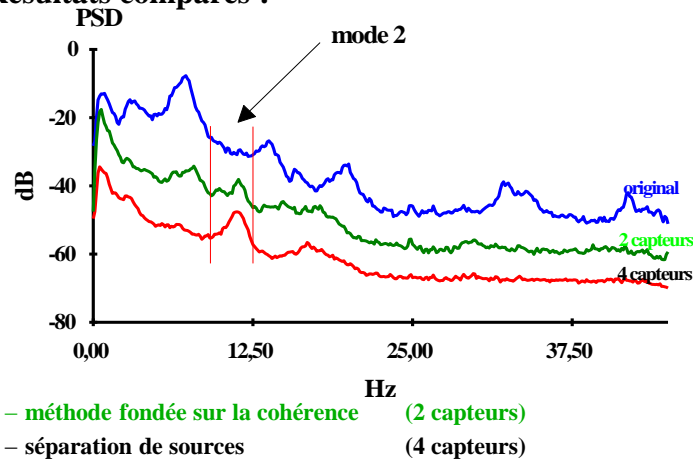
$$z = W r \quad L_z(\tau) = U.L_s(\tau).U^H$$

U diagonalise conjointement K matrices de corrélation correspondant à K instants différents (problèmes de dégénérescence)



Comparaison de la restauration du mode 2 de l'écran thermique en balancement libre

• Résultats comparés :

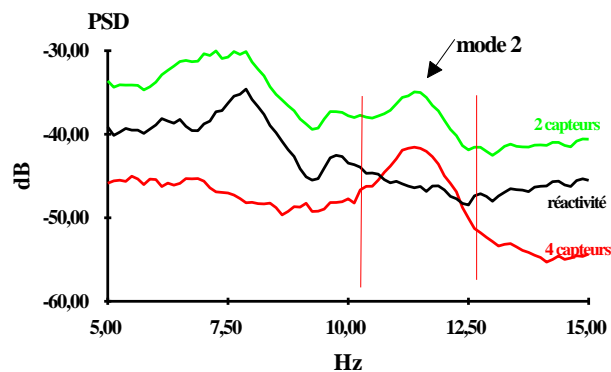


Pourquoi ces méthodes présentent-elles des différences ?

• Le spectre-écran (2 capteurs) restitue deux sources :

la source de l'écran thermique

la source de réactivité





Conclusion

- 1 capteur → information temporelle
- 2 capteurs → information géométrique de ligne
- 4 capteurs → information géométrique de plan
- 8 capteurs → information géométrique d'espace



Un traitement multi-capteurs permet d'extraire l'information recherchée de la mesure

